

## بررسی اثر تغییر زاویه واگرایی یک شیبوره متحرک بر عملکرد آن در سیستم کنترل بردار نیروی پیش‌ران\*

سهند گلرنگ<sup>(۱)</sup> روح‌اله رفعی<sup>(۲)</sup>

**چکیده** در این مقاله به کمک حل عددی جریان، تأثیر مقدار زاویه واگرایی شیبوره بر فاکتور بزرگ‌نمایی، نیروی پیش‌ران جانبی و نیروی پیش‌ران کل در یک سیستم کنترل بردار نیروی پیش‌ران با شیبوره متحرک (با مقطع برشی در ناحیه مافوق صوت) مورد بررسی قرار گرفته است. نسبت مساحت خروجی به گلوگاه و مکان مقطع برشی ثابت در نظر گرفته شده است. در حل عددی معادلات از روش حجم محدود به همراه حل مرتبه دو بالادست و روش AUSM برای گسسته‌سازی شار استفاده شده است. نتایج نشان می‌دهند که برای دو زاویه انحراف متفاوت، نتایج مدل RNG k-ε با دقت قابل قبولی با داده‌های تجربی تطابق دارند. نتایج همچنین نشان می‌دهند که با افزایش زاویه واگرایی شیبوره، فاکتور بزرگ‌نمایی، نیروی پیش‌ران جانبی و نیروی پیش‌ران کل کاهش می‌یابند.

**واژه‌های کلیدی** فاکتور بزرگ‌نمایی، شوک مایل، کنترل بردار نیروی پیش‌ران، شیبوره متحرک.

### Effects of Divergence Angle on Moveable Nozzle Performance in Thrust Vector Control System

S. Golrang R. Rafee

**Abstract** In this paper, by numerical simulation of gas flow, effects of divergence angles on the amplification factor, side force and thrust vector magnitude of a moveable nozzle with supersonic split line have been investigated. The study is conducted for constant exit to throat area ratio and the location of the split line is also constant. The finite volume method with second order upwind scheme for spatial discretization and AUSM method for flux splitting have been used in numerical solution of the equations. It was observed that for two different deviation angles, the results of RNG k-ε turbulence model are in good agreement with experimental data. Results also show that by increasing the divergence angle of the nozzle, the amplification factor, side force and thrust vector magnitude will decrease.

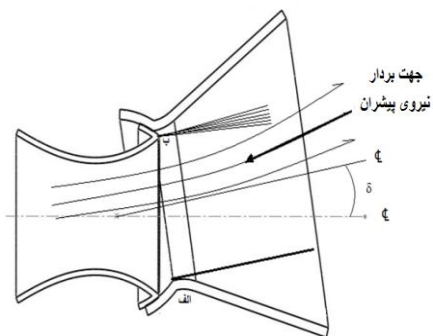
**Key Words** Amplification factor, Oblique shock, Thrust vector control, Moveable nozzle.

\* تاریخ دریافت مقاله ۹۲/۴/۱۴ و تاریخ پذیرش آن ۹۲/۱۱/۳۰ می‌باشد.

(۱) فارغ‌التحصیل کارشناسی ارشد، مهندسی هوا فضا، دانشگاه سمنان.

(۲) نویسنده مسئول: استادیار، مهندسی مکانیک، دانشگاه سمنان. rafee@semnan.ac.ir

## مقدمه



شکل ۱ میدان جریان در شیبوره متحرک با مقطع برشی در ناحیه مافوق صوت با تنها انحراف پیچ

کمپبل و فارلی [1] رانش‌های واقعی و ایده‌آل با سرعت خروجی محوری را برای مجموعه‌ای از شیبوره‌های مخروطی مورد مقایسه قرار دادند. آن‌ها مشاهده کردند که با افزایش زاویه واگرایی شیبوره، نیروی پیشران کل کاهش می‌یابد. جسن و پیترز [2] به تحقیقاتی برای مقایسه دو روش کنترل بردار نیروی پیشران با شیبوره متحرک پرداختند. در هر دو روش شیبوره به صورت مکانیکی جابه‌جا می‌شود، با این تفاوت که در حالت اول شیبوره از بالادست گلوگاه چرخش می‌کند و در حالت دوم شیبوره از پایین دست گلوگاه چرخش می‌کند. آن‌ها دریافتند که در حالت دوم وزن سازه سنگین‌تر می‌شود و گشتاور کنترلی به میزان پنجاه درصد افزایش می‌یابد. آن‌ها نتیجه گرفتند که در این حالت به دلیل آن‌که شیبوره از قسمت مافوق صوت جریان چرخانده می‌شود، بازدهی شیبوره قدری کاهش می‌یابد و هم‌چنین سایش در این ناحیه افزایش می‌یابد. البته این روش دارای یک مزیت برجسته است، زیرا در این حالت فاکتور بزرگ‌نمایی بزرگ‌تر از یک قابل دسترسی می‌باشد.

شرکت تیوکل [3] پس از انجام تحقیقات و آزمایش‌های مختلف کنترل بردار نیروی پیشران، شیبوره با برش در قسمت مافوق صوت را به‌عنوان شیبوره مرحله دوم برای نوعی موشک سوخت جامد

سیستم پیش‌رانش یکی از بخش‌های اصلی هواپیماهای جت و موشک‌های بالستیک می‌باشد و یکی از اجزای مهم این بخش شیبوره است. از شیبوره متحرک (دارای دوران) برای جهت دادن به گازهای خروجی و تبدیل فشار زیاد ایجادشده در محفظه احتراق به انرژی جنبشی استفاده می‌شود. امروزه برای تغییر مسیر یا وضعیت دورانی هواپیماهای جنگنده و موشک از سیستم کنترل بردار نیروی پیشران استفاده می‌شود. کنترل بردار نیروی پیشران فقط در زمانی که سیستم پیش‌رانش عمل می‌کند، مؤثر است. در زمان پرواز، وقتی که سیستم پیش‌رانش فعال نمی‌باشد، کنترل بردار نیروی پیشران غیرعملی خواهد بود و باید از مکانیزم‌های دیگری برای کنترل مسیر و رفتار هواپیما یا موشک استفاده نمود. تغییر مسیر حرکت مطابق با برنامه قبلی و تغییر رفتار هواپیما جت و موشک در هنگام پرواز موتور روشن می‌توانند از دلایل اصلی استفاده از سیستم کنترل بردار نیروی پیشران باشند.

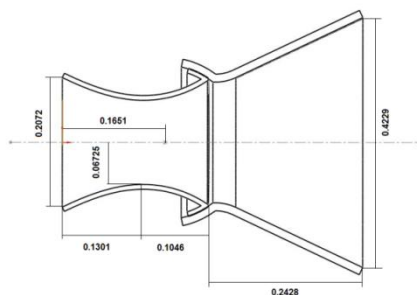
از میان روش‌های کنترل بردار نیروی پیشران می‌توان به تزریق یک سیال ثانویه در قسمت واگرایی شیبوره، انحراف مکانیکی شیبوره، قرار دادن یک وسیله منحرف‌کننده جریان در خروجی شیبوره، شیبوره‌های جانبی تولیدکننده نیروی پیشران و کنترل بردار نیروی پیشران به‌کمک چند شیبوره با دبی متغیر اشاره کرد. یکی از روش‌های کنترل بردار نیروی پیشران که امروزه به‌صورت متداول از آن استفاده می‌شود، روش انحراف مکانیکی شیبوره از ناحیه مافوق صوت می‌باشد (شکل ۱). در این مکانیزم به دلیل وجود پدیده‌هایی مانند موج ضربه مایل (نقطه الف در شکل ۱) و موج انبساطی (نقطه ب در شکل ۱)، جریان خروجی بیش از میزان انحراف شیبوره منحرف می‌شود. در این مقاله به مطالعه این روش کنترل بردار نیروی پیشران پرداخته می‌شود.

جریان و پارامترهای عملکردی نازل در حالت گذرا و حالت پایا به دست آمد، در زوایای انحرافی یکسان مورد مقایسه قرار دادند و به این نتیجه بسیار مهم رسیدند که نتایج حاصل شده از تحلیل گذرا بسیار مشابه نتایج حاصل شده از تحلیل پایا می‌باشد. بنابراین جریان درون نازل کنترل بردار نیروی پیش‌ران مورد تحقیق می‌تواند به صورت پایا در نظر گرفته شود. لی و بایک [7] از تحلیل عددی برای به دست آوردن مشخصات کنترل بردار نیروی پیش‌ران استفاده کردند و کنترل بردار نیروی پیش‌ران به کمک شیپوره انعطاف‌پذیر و تزریق ثانویه را با یکدیگر مقایسه کردند. آن‌ها با استفاده از مدل آشفتگی SST k- $\omega$ ، مشاهده کردند که شیپوره انعطاف‌پذیر، باعث کنترل دقیق‌تری در پرواز می‌شود و هم‌چنین باعث کاهش نیروی پیش‌ران می‌گردد، در حالی که از مزایای کنترل بردار نیروی پیش‌ران به کمک تزریق سیال ثانویه، کاهش وزن سیستم کنترل بردار نیروی پیش‌ران و کاهش توان عملگرها می‌باشد. پاراداسراهی و همکاران [8] به تحلیل دو بعدی شیپوره متقارن محوری در زوایای واگرایی مختلف شیپوره پرداختند. در مطالعه آن‌ها نسبت سطح گلوگاه به سطح ورودی و طول محوری برای همه شیپوره‌ها ثابت در نظر گرفته شده است. آنها مشاهده کردند که با افزایش زاویه واگرایی شیپوره عدد ماخ خروجی افزایش و شدت آشفتگی کاهش می‌یابد. بالاکریشنا و همکاران [9] نیز شیپوره دوبعدی متقارن محوری را در زوایای واگرایی مختلف شیپوره مورد بررسی قرار دادند. در مطالعه آن‌ها نسبت سطح خروجی به گلوگاه در همه شیپوره‌ها ثابت در نظر گرفته شده است. آن‌ها مشاهده کردند که با افزایش زاویه واگرایی شیپوره، سرعت خروجی و شدت آشفتگی افزایش می‌یابد.

در این مقاله، ابتدا نتایج شبیه‌سازی جریان برای یک هندسه مرجع با نتایج تجربی موجود در مراجع مقایسه شده و پس از انتخاب مدل آشفتگی مناسب،

(MLV-SAT-1B-5A) به ناسا پیشنهاد کرد و انحراف قابل توجه بردار نیروی پیش‌ران و کم‌تر بودن بارهای وارد بر شیپوره را از مزایای این روش دانست. کیوچی و همکاران [4] به تحلیل عددی سه‌بعدی جریان دو فازه داخل یک موشک سوخت جامد با شیپوره منحرف شونده‌ای که قسمت هم‌گرای آن داخل محفظه موشک جابه‌جا می‌شود، پرداختند. تحلیل دو فازی آن‌ها به کمک روش اویلر-لاگرانژ بود و از مدل آشفتگی k- $\epsilon$  استفاده کردند. آن‌ها شیپوره مورد مطالعه را  $6^\circ$  منحرف کردند و مشاهده کردند که انحراف شیپوره یک عدم تقارن در شکل انتهای شیپوره ایجاد می‌کند که باعث چرخش جریان و ایجاد گردابه قبل از ورود به شیپوره می‌شود. برای این تحلیل وجود ذرات با دو قطر متفاوت را با یکدیگر مقایسه کردند و مشاهده کردند که ذرات با قطر کوچک تقریباً از مسیر جریان گاز تبعیت می‌کنند در حالی که ذرات با قطر بزرگ به دلیل اینرسی زیاد، از مسیر جریان گاز پیروی نمی‌کنند. ایکازا [5] با توجه به تحقیقاتی که بر روش‌های کنترل بردار نیروی پیش‌ران در هواپیماها داشت، به این نتیجه رسید که به‌ترین راه برای کنترل بردار نیروی پیش‌ران، انحراف مکانیکی قسمت مافوق صوت شیپوره می‌باشد، زیرا استفاده از این تکنولوژی باعث می‌شود که هواپیمای جنگنده زاویه حمله به‌تری در نقطه پروازی مشخص و بار مشخص در پروازهای بدون تغییر ارتفاع داشته باشند، که نتیجه آن کاهش نیروی درگ و کاهش مصرف سوخت هواپیما است. هم‌چنین در اثر انحراف بردار نیروی پیش‌ران می‌توان مسافت بلند شدن و فرود آمدن هواپیما را کاهش داد. ماهوی‌من و همکاران [6] به کمک روش حجم محدود جیمسون جریان گذرای درون نازلی سه‌بعدی متحرک را بررسی کردند. نازل مورد نظر با سرعت ثابت  $90^\circ$  درجه بر ثانیه تنها در راستای پیچ از زاویه اولیه صفر درجه تا زاویه نهایی  $20^\circ$  درجه منحرف می‌شود. ایشان نتایجی که از میدان

شیبوره تغییر داده می‌شود و نتایج مورد بررسی قرار خواهند گرفت. در شکل (۲) تمامی اعداد بر حسب متر می‌باشند.



شکل ۲ هندسه مورد استفاده در آزمایش استروم

انحراف شیبوره مورد نظر دارای زاویه پیچ (Pitch) و یاو (Yaw) می‌باشد. بنابراین، زوایای انحرافی مورد بررسی شامل برآیند دو زاویه انحرافی پیچ و یاو است.

**معادلات حاکم.** اگر معادلات بقای جرم، بقای ممتوم، بقای انرژی و معادله حالت گاز کامل در حالت پایا به کار گرفته شوند و از متوسط‌گیری زمانی استفاده شود، این معادلات به ترتیب به صورت زیر بیان خواهند

شد:

$$\frac{\partial}{\partial x_i} (\rho u_i) = 0 \quad (1)$$

$$\frac{\partial}{\partial x_j} (\rho u_i u_j) = -\frac{\partial P}{\partial x_i} + \frac{\partial}{\partial x_j} \left[ \mu \left( \frac{\partial u_i}{\partial x_j} + \frac{\partial u_j}{\partial x_i} - \frac{2}{3} \delta_{ij} \frac{\partial u_L}{\partial x_L} \right) \right] + \frac{\partial}{\partial x_j} (-\rho \overline{u_i' u_j'}) \quad (2)$$

$$\frac{\partial}{\partial x_i} (u_i (\rho E + P)) = \frac{\partial}{\partial x_j} \left[ k_{\text{eff}} \frac{\partial T}{\partial x_j} + u_i (\tau_{ij})_{\text{eff}} \right] + S_h \quad (3)$$

$$P = \rho RT \quad (4)$$

که در آن  $\delta_{ij}$  دلتای کرونکر،  $E$  انرژی کل،

اثرات تغییر زاویه واگرایی شیبوره مخروطی در یک میزان انحراف شیبوره (دوران قسمت متحرک شیبوره حول محورهای  $y$  و  $z$ ) بر میدان جریان، فاکتور بزرگ‌نمایی و نیروی پیش‌ران کل و نیروی جانبی ایجادشده مورد بحث و بررسی قرار گرفته است. لازم به ذکر است که تا کنون تأثیر زاویه واگرایی بر عملکرد سیستم کنترل بردار نیروی پیش‌ران دارای شیبوره متحرک با مقطع برشی (سطح تماس دو قسمت ثابت و متحرک شیبوره) در ناحیه مافوق صوت شیبوره مورد مطالعه قرار نگرفته است.

### هندسه مسأله مورد بحث

استروم [10] در مرکز تحقیقاتی نیروی هوایی پیش‌ران‌ش موشک با انجام آزمایش‌های بسیار به این نتیجه موفقیت‌آمیز رسید که شیبوره‌های نوع متحرک با برش در ناحیه مافوق صوت دارای فاکتور بزرگ‌نمایی نیروی بزرگ‌تر از یک هستند، که این موضوع نشان می‌دهد زاویه انحراف بردار نیروی پیش‌ران بیش‌تر از زاویه انحراف شیبوره می‌باشد. هدف وی از آزمایش به دست آوردن داده‌های تجربی برای نیروهای جانبی و گشتاور تحریک برای به دست آوردن میزان انحراف بردار نیروی پیش‌ران است. با توجه به نتایج به دست آمده، پیشنهاد شد که در سیستم‌هایی که نیازمند انحراف زیاد بردار نیروی پیش‌ران هستند یا فضای انحراف شیبوره در آن‌ها محدود است، از شیبوره با برش در ناحیه مافوق صوت استفاده شود.

شکل (۲) هندسه مورد استفاده در این آزمایش را نشان می‌دهد. در این شیبوره قطر ورودی  $0.2072$  متر، قطر گلوگاه  $0.1345$  متر، قطر خروجی  $0.0428$  متر و فاصله نقطه برش از گلوگاه برابر  $0.1046$  متر می‌باشد. در مقاله حاضر، نسبت سطح خروجی به سطح گلوگاه و مکان مقطع برشی شیبوره ثابت می‌باشد و زاویه واگرایی شیبوره از مقطع برشی تا انتهای

$$\eta = S \frac{k}{\varepsilon} \quad (11)$$

$$S = \sqrt{2S_{ij}S_{ij}} = \sqrt{\frac{G}{\mu_t}} \quad (12)$$

$$\mu_t = \rho C_\mu \frac{k^2}{\varepsilon} \quad (13)$$

تابع دیواره بهبود یافته. برای ناحیه نزدیک دیواره با ترکیب قوانین خطی و لگاریتمی دیواره، سرعت بی بعد با استفاده از تابع پیشنهاد شده توسط کادر [12] به صورت زیر بیان می شود:

$$u^+ = e^\Gamma u_{lam}^+ + e^{1/\Gamma} u_{turb}^+ \quad (14)$$

$$u^+ = \frac{u}{u_\tau} \quad (15)$$

$$u_\tau = \sqrt{\frac{\tau_w}{\rho}} \quad (16)$$

که تابع ترکیب کننده توسط رابطه زیر بیان می شود:

$$\Gamma = -\frac{a(y^+)^4}{1+by^+} \quad (17)$$

$$y^+ = \frac{\rho u_\tau y}{\mu} \quad (18)$$

که در آن  $a=0.41$  و  $b=5$  می باشد.

توابع دیواره دمایی بهبود یافته از همان روش ایجاد شده برای پروفیل  $u^+$  پیروی می کنند. فرمول بندی دمایی دیواره یکپارچه ( Unified wall thermal formulation)، پروفیل های آرام و لگاریتمی را مطابق با روش کادر ترکیب می کند:

$$T^+ \equiv \frac{(T_w - T_p)\rho C_p u_\tau}{\dot{q}} = e^\Gamma T_{lam}^+ + e^{1/\Gamma} T_{turb}^+ \quad (19)$$

$$\Gamma = -\frac{a(P_r y^+)^4}{1+bP_r^3 y^+} \quad (20)$$

ضرایب  $a$  و  $b$  همان ضرایب تعریف شده در

$k_{eff} = k + k_t$  ضریب هدایت حرارتی مؤثر و  $(\tau_{ij})_{eff}$  تانسور تنش منحرف شده (Deviatoric stress tensor) می باشد که توسط رابطه زیر تعریف می شود:

$$(\tau_{ij})_{eff} = \mu_{eff} \left( \frac{\partial u_j}{\partial x_i} + \frac{\partial u_i}{\partial x_j} \right) - \frac{2}{3} \mu_{eff} \frac{\partial u_k}{\partial x_k} \delta_{ij} \quad (5)$$

استفاده از فرض بوزینسک یک روش معمول برای ایجاد رابطه بین تنش های رینولدز و گرادیان های متوسط سرعت می باشد، یعنی:

$$-\rho \overline{u'_i u'_j} = 2\mu_t S_{ij} - \frac{2}{3} (\rho k) \delta_{ij} - \frac{2}{3} \delta_{ij} \frac{\partial u_k}{\partial x_k} \quad (6)$$

که در آن  $S_{ij}$  تانسور نرخ کرنش متوسط است و توسط رابطه زیر بیان می شود:

$$S_{ij} = \frac{u_{i,j} + u_{j,i}}{2} \quad (7)$$

**مدل آشفتگی  $k-\varepsilon$  RNG** یاخوت و همکارانش [11] گونه ای از مدل  $k-\varepsilon$  را ارائه نموده اند که مشخصات و ویژگی های عملکردی آن در مقایسه با مدل استاندارد، در جریان هایی با نرخ کرنش سریع ( Rapidly strained flow) و جریان های چرخشی (Swirling flow) بهینه شده است. هم چنین این مدل در جریان ها با رینولدز کم، نسبت به مدل استاندارد به تر عمل می کند. معادلات انتقال در این مدل که  $k-\varepsilon$  RNG نامی ده می شود، به صورت زیر می باشند:

$$\frac{\partial(\rho k u_i)}{\partial x_i} = \frac{\partial}{\partial x_j} \left[ a_k \mu_{eff} \frac{\partial k}{\partial x_j} \right] + G_k - \rho \varepsilon - Y_m + S_k \quad (8)$$

$$\frac{\partial(\rho \varepsilon u_i)}{\partial x_i} = \frac{\partial}{\partial x_j} \left[ a_\varepsilon \mu_{eff} \frac{\partial \varepsilon}{\partial x_j} \right] + C_{1\varepsilon} \frac{\varepsilon}{k} (G_k) - C_{2\varepsilon} \rho \frac{\varepsilon^2}{k} - R_\varepsilon + S_\varepsilon \quad (9)$$

که در آن:

$$R_\varepsilon = \frac{C_\mu \eta^3 (1 - \eta/\eta_0) \varepsilon^2}{1 + \beta \eta^3} \frac{1}{k} \quad (10)$$

$$T_x - \int_{\text{exit}} P_e dA + P_{\text{atm}} A_e = \int_{\text{C.S}} V_x dm \quad (23)$$

با تعریف فشار میانگین گیری شده سطحی و سرعت میانگین گیری شده جرمی به صورت زیر خواهیم داشت:

$$(\bar{V}_x)_{M.W} = \frac{\int_{\text{C.S}} V_x dm}{\dot{m}} \quad (24)$$

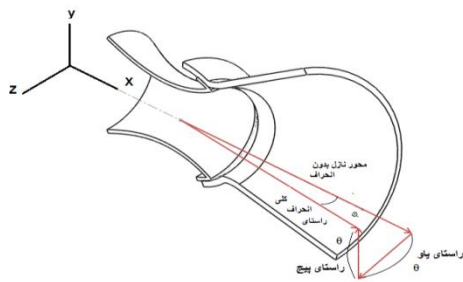
$$\bar{P}_{A.W} = \frac{\int_{\text{exit}} P_e dA}{A_e} \quad (25)$$

محاسبه نیروی پیشران کل در راستای x برای نازلی که قسمت متحرک آن نسبت به قسمت ثابت بدون انحراف می باشد به صورت زیر خواهد بود:

$$T_x = (\bar{P}_{A.W} - P_{\text{atm}}) A_e + ((\bar{V}_x)_{M.W}) \dot{m} \quad (26)$$

به همین ترتیب محاسبه نیروی پیشران در راستاهای دیگر نیز صورت می گیرد با این تفاوت که میزان چرخش نازل در جمله نیروی فشاری باید در نظر گرفته شود.

در تحقیق مورد بررسی، مطابق شکل (۴) قسمت متحرک نازل به طور مساوی حول محورهای Y و Z دوران می یابد.  $\theta$  میزان انحراف مؤلفه های پیچ و یاو می باشد و  $\phi$  برآیند این دو زاویه انحرافی است.



شکل ۴ گردش نازل حول محورهای پیچ و یاو

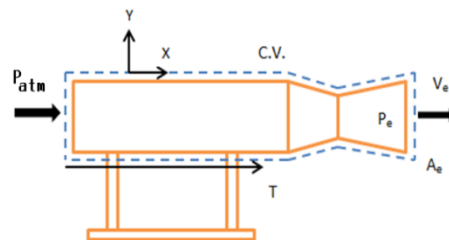
می توان اثبات کرد که براساس شکل (۴) میزان نیروی پیشران در هر راستا به صورت زیر محاسبه می شود:

معادله (۱۵) می باشد.

**فاکتور بزرگ نمایی.** میزان مؤثر بودن شیبوره با سطح مقطع برشی در ناحیه مافوق صوت، توسط پارامتر فاکتور بزرگ نمایی نیرو (Amplification factor) تعریف می شود. این پارامتر بیان کننده نسبت زاویه انحراف بردار نیروی پیشران به زاویه انحراف شیبوره می باشد که توسط رابطه زیر تعریف می شود:

$$AMF = \frac{F_s}{F_a \sin \delta} \quad (21)$$

که در آن  $F_s$  نیروی جانبی،  $F_a$  نیروی پیشران کل،  $\delta$  زاویه چرخش ناحیه مافوق صوت شیبوره می باشد. این پارامتر برای شیبوره ها با مقطع برشی در ناحیه مافوق صوت باید بزرگ تر از یک باشد و بیان کننده این است که میزان انحراف جریان از میزان انحراف شیبوره بیش تر می باشد.



شکل ۳ نازل متصل به زمین به عنوان حجم کنترل

محاسبه نیروی پیشران. با در نظر گرفتن کل موتور و شیبوره به عنوان حجم کنترل (شکل ۳) و با نوشتن معادله انتگرالی ممنتوم در حالت پایا، بدون در نظر گرفتن نیروی های حجمی در راستای X خواهیم داشت:

$$T_x - \oint_{\text{C.S}} P dA = \oint_{\text{C.S}} V_x (\rho \vec{V} \cdot d\vec{A}) \quad (22)$$

که در آن:

جنبشی آشفته می‌باشد. در مدل LES ادی‌های بزرگ به صورت مستقیم حل می‌شوند، در حالی که ادی‌های کوچک مدل می‌شوند. بر اساس منطق LES، اندازه حرکت، جرم، انرژی و دیگر متغیرهای عددی تأثیرپذیر، معمولاً به وسیله ادی‌های بزرگ منتقل می‌شوند و همچنین این ادی‌های بزرگ به وسیله هندسه مسئله و نوع شرایط مرزی جریان به مسأله اعمال می‌شوند، در حالی که ادی‌های کوچک کم‌تر به هندسه مسئله وابسته‌اند و تمایل دارند که بیش‌تر همسانگرد باشند.

تنش‌های مقیاس زیر شبکه‌ای (sub grid scale stress) از مجهولات عملیات فیلتر کردن نتیجه می‌شوند و نیازمند مدل‌سازی می‌باشند. مدل آشفته‌گی مقیاس زیر شبکه‌ای همانند مدل‌های RANS از فرض بوسینسک استفاده می‌کند:

$$\tau_{ij} - \frac{1}{3}\tau_{kk}\delta_{ij} = -2\mu_t \left( S_{ij} - \frac{1}{3}S_{kk}\delta_{ij} \right) \quad (36)$$

که در آن  $\mu_t$  لزجت آشفته مقیاس زیر شبکه‌ای و  $S_{ij}$  از رابطه (۷) محاسبه می‌شود. برای محاسبه  $\mu_t$  از مدل اسماگرینسکی-لیلی (Smagorinsky-Lilly model) [13] استفاده شده است، در این مدل لزجت به صورت زیر بیان می‌شود:

$$\mu_t = \rho L_s^2 |\bar{S}| \quad (37)$$

$$L_s = \min(kd, C_s \Delta) \quad (38)$$

$$\Delta = V^{1/3} \quad (39)$$

$L_s$  طول اختلاطی مقیاس‌های زیر شبکه‌ای،  $|\bar{S}|$  از روابط (۱۲ و ۷) محاسبه می‌شود و  $k$  ثابت ون کارمن،  $d$  فاصله از نزدیک‌ترین دیواره،  $C_s$  ثابت اسماگرینسکی،  $\Delta$  مقیاس شبکه محلی و  $V$  حجم سلول محاسباتی می‌باشد.

$$T_x = (\bar{P}_{A,W} - P_{atm})A_e \cos \varphi + ((\bar{V}_x)_{M,W})\dot{m} \quad (27)$$

$$T_y = (\bar{P}_{A,W} - P_{atm})A_e \sin \theta + [(\bar{V}_y)_{M,W}]\dot{m} \quad (28)$$

$$T_z = (\bar{P}_{A,W} - P_{atm})A_e \sin \theta \cos \theta + [(\bar{V}_z)_{M,W}]\dot{m} \quad (29)$$

با توجه به روابط محاسبه نیروی پیش‌ران، به ترتیب نیروی جانبی و نیروی پیش‌ران کل به صورت زیر بیان می‌شوند:

$$T_y^2 + T_z^2 = F_s^2 \quad (30)$$

$$T_y^2 + T_z^2 + T_x^2 = F_a^2 \quad (31)$$

**حل تحلیلی موج ضربه.** با مشخص بودن عدد ماخ ورودی  $M_1$  و زاویه چرخش جریان  $\theta$ ، میزان زاویه شوک مایل  $\beta$  توسط رابطه (۲۹) قابل محاسبه می‌باشد:

$$\tan \theta = 2 \cot \beta \frac{M_1^2 \sin^2 \beta - 1}{M_1^2 (\gamma + \cos 2\beta) + 2} \quad (32)$$

با داشتن  $M_1$ ،  $\beta$ ،  $\theta$  و به ترتیب به کمک روابط (۳۳-۳۵) عدد ماخ بعد از موج مایل قابل محاسبه می‌باشد:

$$M_{n,1} = M_1 \sin \beta \quad (33)$$

$$M_{n,2}^2 = \frac{1 + \left(\frac{\gamma-1}{2}\right)M_{n,1}^2}{\gamma M_{n,1}^2 - \frac{\gamma-1}{2}} \quad (34)$$

$$M_2 = \frac{M_{n,2}}{\sin(\beta-\theta)} \quad (35)$$

$M_{n,1}$  و  $M_{n,2}$  به ترتیب عدد ماخ عمودی قبل و بعد از شوک مایل می‌باشند.

**مدل آشفته‌گی LES** جریان‌های آشفته، با ادی‌هایی با گستره بسیار بزرگی از مقیاس‌های طولی و زمانی مشخص می‌شوند. بزرگ‌ترین ادی‌ها معمولاً از نظر اندازه با طول مشخصه جریان متوسط قابل قیاس هستند. کوچک‌ترین مقیاس‌ها مسئول اضمحلال انرژی

$$\oint (\vec{F} - \vec{G}) \cdot d\vec{A} = \int_V \vec{H} dV \quad (41)$$

که در آن بردارهای  $\vec{F}$  و  $\vec{G}$  به صورت زیر تعریف می شوند:

$$\vec{F} = \begin{bmatrix} \rho v \\ \rho uv + p\hat{i} \\ \rho vv + p\hat{j} \\ \rho wv + p\hat{k} \\ \rho vE + pv \end{bmatrix} \quad \vec{G} = \begin{bmatrix} 0 \\ \tau_{xi} \\ \tau_{yi} \\ \tau_{zi} \\ \tau_{ij}v_j + q \end{bmatrix} \quad (42)$$

در روش AUSM شار عددی  $\vec{F}$  به صورت زیر محاسبه می شود:

$$F = m_f \varphi + P_i \quad (43)$$

که در آن  $m_f$  شار جرمی عبوری از فصل مشترک است و توسط یک تابع بر حسب عدد ماخ در سمت چپ و راست فصل مشترک سلولها به وسیله یک چند جمله ای درجه چهار محاسبه می شود،  $P_i$  شار فشاری و  $\vec{F}$  بردار شار می باشد.

### شرایط مرزی

جدول (۱) نوع و مقدار شرایط مرزی به کار رفته در نرم افزار انسیس فلونت (ANSYS FLUENT) را نشان می دهد. خواص و ویژگی های سوخت و سیال به کار رفته با توجه به مراجع [10,16] انتخاب شده اند. سوخت مورد استفاده LPC-614a می باشد که سوخت جامد است. در این مقاله از تقریب تک فاز به جای دوفاز استفاده شده است.

در معادله ممتوم شرط مرزی عدم لغزش در تمام دیواره ها در نظر گرفته شده است و هم چنین دیواره ها غیر قابل نفوذ می باشند.

### روش عددی

حلگر مورد استفاده پایه چگالی (Density based) می باشد که به صورت همزمان معادلات پیوستگی، ممتوم، انرژی و معادله حالت گاز ایده آل را حل می کند و الگوریتم ضمنی این روش برای حل دستگاه مورد نظر استفاده شده است.

گسسته سازی مکانی به روش بالادست مرتبه دو (Second order upwind) می باشد [14]. در این روش دقت مراتب بالاتر در وجه سلولها توسط بسط تیلور در مرکز سلول، حول مرکز سلول به دست می آید. بنابراین  $\varphi_f$  مقدار وجه از رابطه زیر به دست می آید:

$$\varphi_{f,sou} = \varphi + \nabla \varphi \cdot \vec{r} \quad (40)$$

که در آن،  $\varphi$  و  $\nabla \varphi$  مقادیر مرکز سلول و گرادیان آن در سلول بالادست می باشد و  $\vec{r}$  بردار جابه جایی از مرکز سلول بالادست به مرکز وجه می باشد. در این رابطه برای محاسبه گرادیانها از روش گرین گوس بر مبنای گره ای (Green-Gauss node based) استفاده شده است که در شبکه بندی بدون ساختار باعث ایجاد دقت بیش تری می شود.

در گسسته سازی شار از روش AUSM استفاده شده است [15]. این روش دارای ویژگی هایی چون تحلیل دقیق در ناپیوستگی های موجود در جریان مانند موج ضربه می باشد و از سوی دیگر در زمان تحلیل انواع موج ضربه بدون نوسان (Free of oscillation) عمل می کند.

اگر معادلات حاکم در حالت برداری در مختصات کارتزین برای یک حجم کنترل دلخواه به صورت زیر بیان شوند:

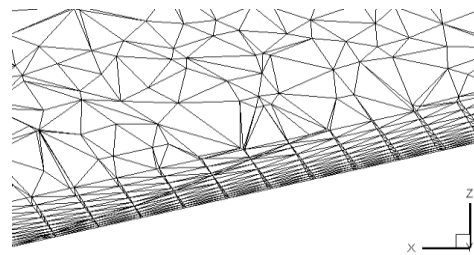
جدول ۱ نوع و مقادیر شرایط مرزی تنظیم شده

ناحیه	شرط مرزی	فشار کل (KPa)	فشار استاتیک (KPa)	دما (°C)	قطر هیدرولیکی (m)	شدت آشفستگی (درصد)
ورودی	ورودی فشار	۴۸۲۷/۳	۴۶۳۸/۶	۳۱۷۳	۰/۲۱	۵



## استقلال حل از شبکه

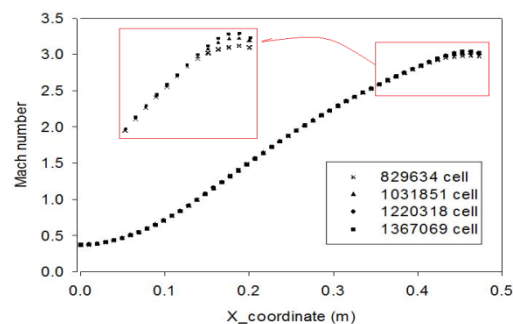
شبکه‌بندی به صورت سه‌بعدی است و در نرم‌افزار انسیس انجام شده است (شکل ۵). شبکه‌بندی مورد نظر بی‌سازمان است و از نوع هرمی (T-Rex) می‌باشد.



شکل ۵ نمایش شبکه‌بندی لایه مرزی در مقطعی از شیبوره

جدول ۲ استقلال حل از شبکه برای فاکتور بزرگ‌نمایی

مورد	تعداد سلول	فاکتور بزرگ‌نمایی	درصد خطا نسبت به حالت قبل
۱	۸۲۹۶۳۴	۱/۰۹۰۱۶	-
۲	۱۰۳۱۸۵۱	۱/۰۹۱۵۲	۰/۱۲
۳	۱۲۲۰۳۱۸	۱/۰۹۳۰۳	۰/۱۴
۴	۱۳۶۷۰۶۹	۱/۰۹۳۰۶	۰/۰۰۲



شکل ۶ استقلال حل از شبکه، تغییرات عدد ماخ در محور نازل

به جدول (۲) مشاهده می‌شود استقلال حل از شبکه، برای شبکه‌ای با تعداد سلول ۱۳۶۷۰۶۹ به دست آمده است. علاوه بر آن، برای نشان دادن استقلال جواب‌ها از شبکه، تغییرات عدد ماخ بر روی محور اصلی نازل برای شبکه‌های مختلف نیز در شکل (۶) نشان شده است.

## اعتبارسنجی

پیش از اعتباردهی به تحقیق اصلی، لازم است که ابتدا اعتبار روش عددی در تسخیر صحیح شوک مایل مورد بررسی قرار گیرد. حل تحلیلی جریان مافوق صوت دوبعدی بر روی یک گوه، یک روش برای اعتبارسنجی دقت نرم‌افزار انسیس فلونت در تسخیر موج ضربه می‌باشد. به دلیل آن‌که هدف توانایی نرم‌افزار انسیس فلونت برای تسخیر شوک مایل و ناپیوستگی در جریان است، جریان به صورت غیر لزج برای سیال هوا در نظر گرفته شده است.

**اعتبارسنجی تسخیر صحیح موج ضربه.** برای آن‌که اعتبار روش عددی به کار رفته در این مطالعه اثبات گردد، ابتدا جریان مافوق صوت بر روی یک گوه به صورت عددی بررسی شده و نتایج آن با حل تحلیلی موجود مقایسه گردیده است. زاویه گوه ۵ درجه و عدد ماخ ورودی برابر ۳/۴ می‌باشد. به کمک روابط تحلیلی (۳۲-۳۵)، با این شرایط ورودی جریان، موج مایل تحت زاویه ۲۰/۷۱ درجه و عدد ماخ خروجی ۳/۱۱ تولید می‌شود. درصد خطای زاویه شوک مایل  $\beta$  و عدد ماخ بعد از موج ضربه نسبت به حل تحلیلی به‌طور خلاصه در جدول (۳) آمده است.

جدول ۳ اعتبارسنجی تسخیر صحیح موج ضربه

حل عددی	حل تحلیلی	درصد خطا
عدد ماخ بعد از موج ضربه	۳/۱	۳/۱۱
زاویه موج ضربه (درجه)	۲۰/۵۵	۲۰/۷۱

در ابتدا استقلال حل از شبکه برای شیبوره دارای میزان انحراف ۵/۰۶ درجه و زاویه واگرایی ۲۵/۲۴ درجه بررسی شد. فاکتور بزرگ‌نمایی به دست آمده با شبکه‌های مختلف در جدول (۲) آمده است. با توجه

**اعتبارسنجی مدل آشفتگی.** جدول (۴) نشان‌دهنده نتایج عددی به دست آمده برای زاویه انحراف  $3/9$  درجه و زاویه واگرایی  $25/24$  درجه می‌باشد که برای مدل مذکور با حل مرتبه دو بالادست دارای  $8/76$  درصد خطای نیروی جانبی،  $6/35$  درصد خطای نیروی پیش‌ران کل و  $1/97$  درصد خطای فاکتور بزرگ‌نمایی می‌باشد. جدول (۵) نتایج عددی به دست آمده برای میزان انحراف  $5/06$  درجه و زاویه واگرایی  $25/24$  درجه را نشان می‌دهد و بیان می‌کند که مدل آشفتگی RNG k-ε دارای  $7/5$  درصد خطای نیروی جانبی،  $7/19$  درصد خطای نیروی پیش‌ران کل و  $0/93$  درصد خطای فاکتور بزرگ‌نمایی می‌باشد. همان‌گونه که در جداول (۴ و ۵) دیده شد، با در نظر گرفتن دو زاویه انحراف  $3/9$  درجه و  $5/06$  درجه

در زاویه واگرایی  $25/24$  درجه با استفاده از مدل‌های آشفتگی مختلف به کمک حل مرتبه دو بالادست، مدل آشفتگی RNG k-ε به کمک تابع دیواره بهبود یافته و روش AUSM برای گسسته‌سازی شار، با دقت قابل قبولی با نتایج تجربی تطابق دارند. مدل آشفتگی RSM نیز پس از مدل آشفتگی RNG k-ε دارای جواب‌های نزدیک به نتایج آزمایشگاهی می‌باشد و می‌تواند نشان‌دهنده این نکته باشد که انتخاب مدل آشفتگی در این تحلیل عددی دارای اهمیت است. مدل RSM لزوماً همیشه و در همه جریان‌ها، نسبت به مدل‌های ساده‌تر نظیر RNG k-ε جواب‌های بهتری نمی‌دهد. برتری این مدل عمدتاً در جریان‌های مغشوش غیر ایزوتروپ (از قبیل جریان داخل سیکلون‌ها و جریان‌های دارای چرخش زیاد در محفظه‌های احتراق) است.

جدول ۴ اعتبارسنجی در زاویه انحراف  $3/9$  درجه و زاویه واگرایی  $25/24$  درجه

آزمایش / مدل‌های آشفتگی	نیروی پیش‌ران کل (KN)	نیروی جانبی (KN)	فاکتور بزرگ‌نمایی	درصد خطای نیروی جانبی	درصد خطای نیروی پیش‌ران کل	فاکتور بزرگ‌نمایی	درصد خطای فاکتور بزرگ‌نمایی
Realizable k-ε	۹۹/۳۱	۷/۱۷	۱/۰۶۱۶	۹/۸۹	۶/۳۲	۳/۰۶	
RNG k-ε	۹۹/۳۴	۷/۱	۱/۰۵۰۳	۸/۷۶	۶/۳۵	۱/۹۷	
RSM	۹۹/۴۷	۷/۱۶	۱/۰۵۸۶	۹/۷۵	۶/۴۹	۲/۷۷	
SST k-ω	۹۹/۳۳	۷/۱۶	۱/۰۶۰۴	۹/۷۹	۶/۳۴	۲/۹۵	
اسپالارت-آلماراس	۹۹/۰۴	۷/۲۲	۱/۰۷۱۳	۱۰/۵۸	۶/۰۲	۴/۰۱	
آزمایش استروم	۹۳/۴۱	۶/۵۳	۱/۰۳	.	.	.	

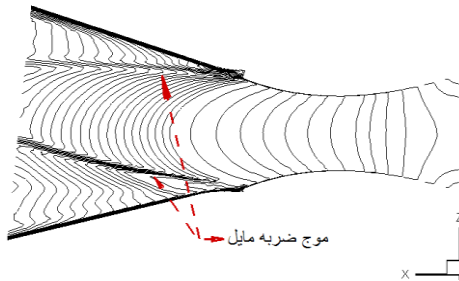
جدول ۵ اعتبارسنجی در زاویه انحراف  $5/06$  درجه و زاویه واگرایی  $25/24$  درجه

آزمایش / مدل‌های آشفتگی	نیروی پیش‌ران کل (KN)	نیروی جانبی (KN)	فاکتور بزرگ‌نمایی	درصد خطای نیروی جانبی	درصد خطای نیروی پیش‌ران کل	فاکتور بزرگ‌نمایی	درصد خطای فاکتور بزرگ‌نمایی
Realizable k-ε	۹۹/۱۴	۹/۲۶	۱/۰۵۹۳	۸/۴۵	۷/۱۵	۱/۸۶	
RNG k-ε	۹۹/۱۸	۹/۱۸	۱/۰۴۹۷	۷/۵۱	۷/۱۹	۰/۹۳	
RSM	۹۹/۳	۹/۲۴	۱/۰۵۵۵	۸/۲۵	۷/۳۳	۱/۴۹	
SST k-ω	۹۹/۱۶	۹/۲۷	۱/۰۵۹۷	۸/۵۱	۷/۱۷	۱/۹	
اسپالارت-آلماراس	۹۸/۸۵	۹/۳۵	۱/۰۷۲۰	۹/۴۳	۶/۸۴	۳/۰۸	
آزمایش استروم	۹۲/۵۲	۸/۵۴	۱/۰۴	.	.	.	

سرعت محوری کاهش می‌یابد، بنابراین نیروی پیش‌ران کل نیز کاهش می‌یابد.

همان‌طور که در مقدمه بیان شد، نتایج به‌دست آمده از کار کمپیل و فارلی [1] برای شیپورهٔ مخروطی بدون انحراف در ناحیهٔ مافوق صوت آن می‌باشد. در تحلیل حاضر، علاوه بر تغییر زاویهٔ واگرایی شیپوره، ناحیهٔ مافوق صوت شیپوره در مقطع برشی به‌میزان ۵/۰۶ درجه حول محورهای Z و Y دوران می‌یابد و نتایج مورد بررسی قرار خواهد گرفت.

یکی از ویژگی‌های جریان در شیپورهٔ سیستم کنترل بردار نیروی پیش‌ران وجود موج شوک مایل می‌باشد که در شکل (۷) قابل مشاهده است. این موج مایل سه‌بعدی است و به‌شدت میدان جریان پایین دست گلوگاه شیپوره را تحت تأثیر قرار می‌دهد و باعث انحراف بردار نیروی پیش‌ران بیش از میزان انحراف شیپوره می‌شود.



شکل ۷ کانتور عدد ماخ در شیپوره با میزان انحراف ۵/۰۶ درجه و زاویهٔ واگرایی ۲۵/۲۴ درجه

برای آن‌که تأثیر زاویهٔ واگرایی شیپوره به‌تنهایی مورد بررسی قرار گیرد، نسبت سطح خروجی به گلوگاه و مکان مقطع برشی در تمامی زوایای واگرایی شیپوره ثابت در نظر گرفته شدند، بنابراین طول محوری شیپوره متغیر می‌باشد.

به‌دلیل آن‌که نسبت سطح مقطع برشی به سطح مقطع گلوگاه ثابت است، عدد ماخ در مقطع برشی با تغییر زاویهٔ واگرایی شیپوره تقریباً ثابت می‌ماند ولی با

در تحلیل دوبعدی نازل متقارن محوری از مدل LES نیز استفاده گردید. با توجه به جدول (۶) استقلال حل از شبکه برای این مدل با تعداد سلول ۳۰۰۰۰ به‌دست آمد و میزان نیروی پیش‌ران محوری محاسبه‌شده با نتایج تجربی مقایسه گردید. مطابق با جدول (۷) مشاهده می‌شود که به‌کارگیری مدل LES دارای ۵/۸۵ درصد خطا و مدل RNG k-ε دارای ۵/۶۹ درصد خطا نسبت به نتایج تجربی برای نیروی پیش‌ران محوری است. بنابراین می‌توان بیان کرد که انتخاب مدل آشفتگی RNG k-ε به‌عنوان دقیق‌ترین مدل در تحلیل سه‌بعدی به‌درستی صورت گرفته است.

جدول ۶ استقلال حل از شبکه برای نازل متقارن محوری و مدل LES

تعداد سلول	میزان نیروی پیش‌ران محوری (KN)
۱۷۰۰۰	۹۹/۷۹
۲۴۰۰۰	۹۹/۸۱
۳۰۰۰۰	۹۹/۸۲
۱۳۰۰۰۰	۹۹/۹۱

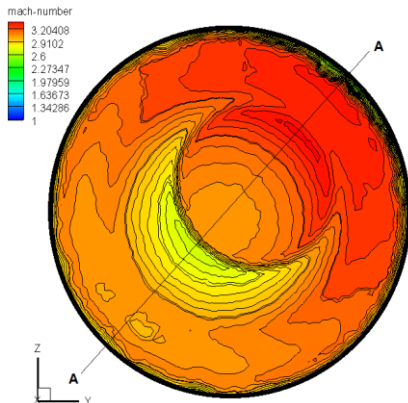
جدول ۷ مقایسه میزان نیروی پیش‌ران در تحلیل دو بعدی متقارن محوری بین مدل LES و RNG k-ε

درصد خطا	نیروی پیش‌ران محوری (KN)	مدل آشفتگی / آزمایش
۵/۹۵	۹۹/۹۱	LES
۵/۶۹	۹۹/۶۷	RNG k-ε
-	۹۴/۳	آزمایش استروم

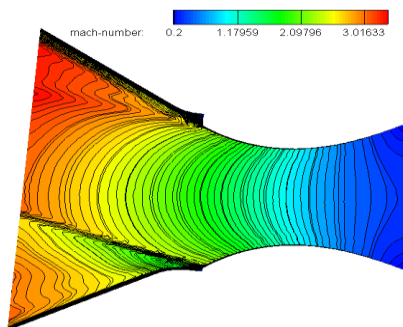
## نتایج و بحث

مطابق با تئوری شبه یک‌بعدی [17] میزان نیروی پیش‌ران تولیدشده توسط یک شیپورهٔ مخروطی، متناسب با سرعت محوری خروجی از شیپوره می‌باشد. از آنجایی که با افزایش زاویهٔ واگرایی شیپوره مقدار

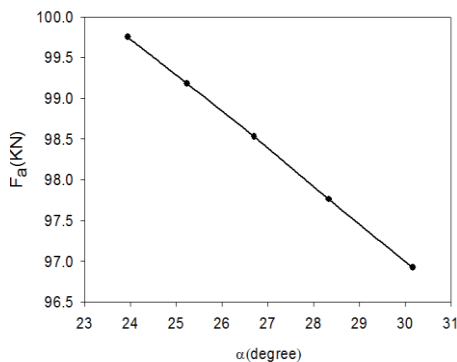
می یابد. به طوری که در تحلیل عددی حاضر افزایش زاویه واگرایی به بیش از  $30/17$  درجه مقدور نبوده است.



شکل ۹- الف کانتور عدد ماخ در خروجی شیبوره با میزان انحراف  $5/06$  درجه و زاویه واگرایی  $30/17$  درجه

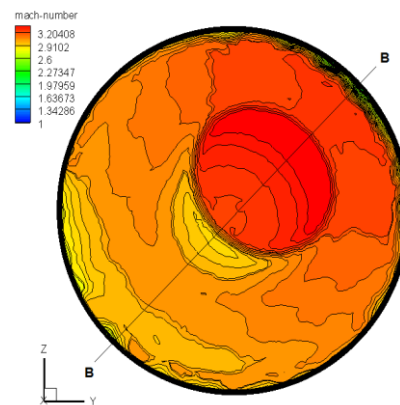


شکل ۹- ب کانتور عدد ماخ در مقطع A-A

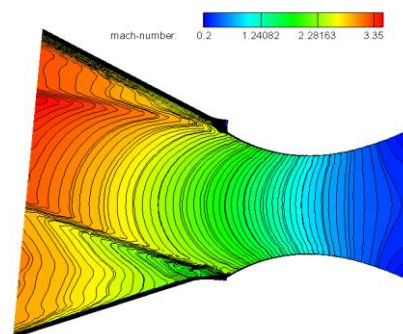


شکل ۱۰ تغییرات نیروی پیشران کل بر حسب زاویه واگرایی شیبوره برای شیبوره با میزان انحراف  $5/06$  درجه

افزایش زاویه واگرایی شیبوره، چرخش جریان در ناحیه مافوق صوت کم تر می شود و در نتیجه زاویه موج مایل کم تر می گردد که نشان دهنده آن است که شدت تغییر سرعت و فشار در گذر از موج ضربه مایل کاهش یافته است. شکل های (۸ و ۹) اثر تغییر زاویه واگرایی را برای شیبوره با میزان انحراف  $5/06$  درجه در مقاطع مختلف نشان می دهند. در کانتورهای (۸-ب و ۹-ب) مشاهده می شود که در زاویه واگرایی  $23/94$  درجه خطوط مشخصه عدد ماخ تراکم بیش تری نسبت به زاویه واگرایی  $30/17$  درجه دارند که نشان دهنده این نکته است که با کاهش زاویه واگرایی شیبوره موج مایل در ناحیه واگرایی شیبوره قوی تر می شود.



شکل ۸- الف کانتور عدد ماخ در صفحه خروجی شیبوره با میزان انحراف  $5/06$  درجه و زاویه واگرایی  $23/94$  درجه



شکل ۸- ب کانتور عدد ماخ در مقطع B-B

با افزایش زاویه واگرایی شیبوره، احتمال جدایش جریان و وجود گردابه در خروجی شیبوره افزایش

شکل (۱۲) نتایج به‌دست آمده برای فاکتور بزرگ‌نمایی را نشان می‌دهد و بیان می‌کند که با افزایش زاویه واگرایی شیپوره فاکتور بزرگ‌نمایی کاهش خواهد یافت. افزایش زاویه واگرایی شیپوره باعث کاهش طول ناحیه واگرایی شیپوره می‌گردد و سطح خروجی به مقطع برشی نزدیک می‌شود. بنابراین، شوک مایل ایجاد شده توانایی ایجاد نیروی جانبی مورد نیاز برای انحراف جریان بیش از انحراف شیپوره را نخواهد داشت. در نتیجه، فاکتور بزرگ‌نمایی کوچک‌تر از یک می‌شود. با توجه به شکل (۱۲) مشاهده می‌شود که با افزایش زاویه واگرایی شیپوره به بیش از ۲۷ درجه فاکتور بزرگ‌نمایی کم‌تر از یک خواهد شد.

جدول (۸) نشان‌دهنده درصد کاهش پارامترهای عملکردی (فاکتور بزرگ‌نمایی، نیروی پیش‌ران کل، نیروی جانبی) برای شیپوره با میزان انحراف ۵/۰۶ درجه، در هر زاویه واگرایی نسبت به زاویه واگرایی  $\alpha=23/94$  می‌باشد.

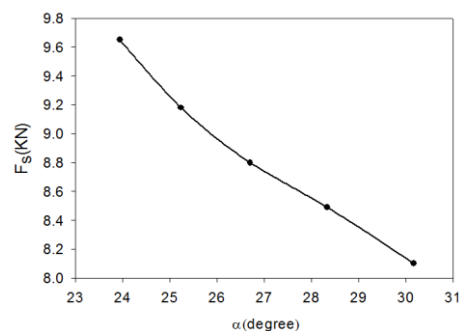
با توجه به جدول (۸) درصد کاهش فاکتور بزرگ‌نمایی، نیروی پیش‌ران کل و نیروی جانبی با افزایش زاویه واگرایی شیپوره افزایش می‌یابد. بنابراین با آن‌که با افزایش زاویه واگرایی شیپوره، طول و جرم شیپوره کاهش می‌یابد که بسیار از نظر هزینه تولید به صرفه می‌باشد ولی باید میزان کاهش نیروی پیش‌ران کل و فاکتور بزرگ‌نمایی را در نظر داشت.

جدول ۸ درصد کاهش هر پارامتر نسبت به زاویه

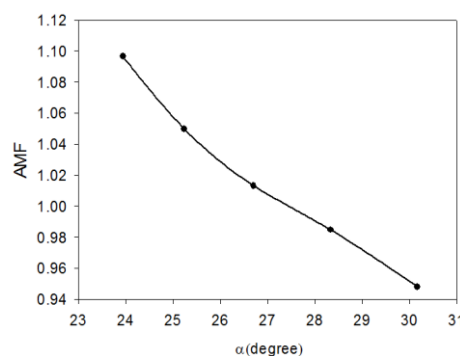
واگرایی  $\alpha=23/94$

درصد کاهش فاکتور بزرگ‌نمایی	درصد کاهش نیروی جانبی	درصد کاهش نیروی پیش‌ران کل	نیم زاویه واگرایی شیپوره
۴/۲۷	۴/۸۲	۰/۵۸	$\alpha=25/24$
۷/۵۹	۸/۷۳	۱/۲۳	$\alpha=26/7$
۱۰/۱۹	۱۱/۹۹	۲	$\alpha=28/33$
۱۳/۵۳	۱۶	۲/۸۵	$\alpha=30/17$

شکل (۱۰) نتایج به‌دست آمده برای نیروی پیش‌ران کل را نشان می‌دهد. از آنجایی که با افزایش زاویه واگرایی شیپوره، سرعت میانگین محوری خروجی کاهش می‌یابد، بنابراین مقدار نیروی پیش‌ران کل نیز کاهش می‌یابد. شکل (۱۱) نیز نتایج به‌دست آمده برای نیروی جانبی را نشان می‌دهد. با توجه به آن‌که با افزایش زاویه واگرایی شیپوره طول ناحیه واگرایی شیپوره کاهش می‌یابد، بنابراین سطح مؤثر کم‌تری در این ناحیه چرخش می‌کند و در نتیجه تحت تأثیر نیروی کم‌تری ناشی از موج مایل قرار می‌گیرد. هم‌چنین با افزایش زاویه واگرایی شیپوره چرخش جریان در ناحیه مافوق صوت کم‌تر می‌شود. در نتیجه، زاویه موج مایل کم‌تر می‌شود که نشان‌دهنده کم‌تر شدن شدت تغییر فشار در گذر از موج مایل می‌باشد. بنابراین، نیروی جانبی وارد بر شیپوره کاهش می‌یابد.



شکل ۱۱ تغییرات نیروی جانبی بر حسب زاویه واگرایی شیپوره برای شیپوره با میزان انحراف ۵/۰۶ درجه



شکل ۱۲ تغییرات فاکتور بزرگ‌نمایی بر حسب زاویه واگرایی شیپوره برای شیپوره با میزان انحراف ۵/۰۶ درجه

### نتیجه گیری

شدن شدت تغییر سرعت و فشار در گذر از موج ضربه مایل می‌باشد و هم‌چنین با افزایش زاویه واگرایی شیبوره، طول شیبوره کاهش می‌یابد. بنابراین، سطح مؤثری که بر آن نیروی جانبی وارد می‌شود کاهش می‌یابد. در نتیجه، نیروی جانبی و فاکتور بزرگ‌نمایی نیز با افزایش زاویه واگرایی شیبوره کاهش می‌یابند.

یکی از مزایای افزایش زاویه واگرایی شیبوره، کاهش طول شیبوره است، که باعث کاهش وزن شیبوره و هزینه تولید می‌شود. البته باید کاهش نیروی پیش‌ران و کاهش فاکتور بزرگ‌نمایی را نیز در نظر گرفت.

با توجه به نتایج به‌دست آمده از شیبوره مورد نظر، در سیستم کنترل بردار نیروی پیش‌ران با مقطع برشی (محل جدا شدن قسمت‌های ثابت و متحرک) در ناحیه فراصوتی برای آن‌که فاکتور بزرگ‌نمایی بزرگ‌تر از یک شود، نباید زاویه واگرایی شیبوره بیش از ۲۷ درجه باشد.

با در نظر گرفتن دو زاویه انحراف متفاوت و با استفاده از مدل‌های آشفته‌گی مختلف به‌کمک حل مرتبه دو بالادست، مشاهده شد که در تحلیل عددی حاضر، مدل آشفته‌گی RNG k- $\epsilon$  به‌کمک تابع دیواره بهبودیافته و روش AUSM برای گسسته‌سازی شار، با دقت قابل‌قبولی با نتایج تجربی تطابق دارند.

نتایج نشان می‌دهد که به‌علت دوران قسمت متحرک شیبوره، در قسمت مافوق‌صوت یک شوک مایل سه‌بعدی به‌وجود می‌آید که بر عملکرد شیبوره بسیار تأثیرگذار است. با افزایش زاویه واگرایی شیبوره، سرعت میانگین محوری خروجی کاهش می‌یابد و بنابراین مقدار نیروی پیش‌ران کل نیز کاهش می‌یابد. با ثابت ماندن نسبت سطح مقطع برشی به گلوگاه، عدد ماخ در مقطع برشی با تغییر زاویه واگرایی شیبوره ثابت می‌ماند ولی با افزایش زاویه واگرایی شیبوره، چرخش جریان در ناحیه مافوق‌صوت کم‌تر می‌گردد. در نتیجه، زاویه موج مایل کم‌تر می‌شود که نشان‌دهنده کم‌تر

### مراجع

1. Campbell, C.E., Farley, J.M., "Performance of Several Conical Convergent Divergent Rocket Type Exhaust Nozzle", Lewis Research Center, NASA-TM-X-39, Ohio, (1960).
2. Jessen, F.C, Peters, M.T, "Comparison between Swiveling Nozzles with Split Lines Upstream and Downstream of the Throat", Rocket Propulsion Establishment, Technical Memorandum No.269, Virginia, (1963).
3. Thiokol Chemical Corporation, "TVC System Study Program", NASA Lewis Research Center, NASA CR-72727, Utah, (1970).
4. Ciucci, A., Laccarino, G. and Amato, M., "Numerical Investigation of 3D Two Phase Turbulent Flow in Solid Rocket Motors", 34<sup>th</sup> AIAA Joint Propulsion Conference and Exhibit, July (1998).
5. Ikaza, D., "Thrust Vectoring Nozzle for Modern Military Aircraft", 22<sup>nd</sup> Congress of International Council of the Aeronautical Sciences, Harrogate, May (2000).
6. Hui-man, M., Si-ai, F. and Han-ping, C., "Numerical Study of Unsteady Flow in Thrust Vectoring Nozzle", International Journal of Turbo and Jet Engines, Vol. 22, pp. 31-40, (2005).
7. Lee, S.N. and Baek, S.W., "Thrust Vector Control by Flexible Nozzle and Secondary Fluid Injection", ICCES, Vol. 10, No. 4, pp. 81-90, (2009).

8. Pardhasaradhi, N., Kumar, V.R. and Rao, Y.V., "Flow Analysis of the Rocket Nozzle Using Computational Fluid Dynamic", International Journal of Engineering Research and Applications, Vol. 2, pp. 1226-1235, (2012).
9. Balakrishna, B., Indana, S. and Reddy, R.P., "Investigation of Supersonic Flow through Conical Nozzle with Various Angles of Divergence", International Journal of Mechanical Engineering, Vol. 2, pp. 9-16, (2013).
10. Strome, R.K., "Test Firing of Supersonic Split-Line Nozzle", Air Force Rocket Propulsion Laboratory, Technical Report AFRPL-TR-69-203, California, (1969).
11. Orszag, S.A., Yakhot, V., Flannery, W.S., Boysan, F., Choudhury, D., Maruzewski, J. and Patel B., "Renormalization Group Modeling and Turbulence Simulations", In International Conference on Near-Wall Turbulent Flows, Tempe, March (1993).
12. Kader B., "Temperature and Concentration Profiles in Fully Turbulent Boundary Layers", Int. J. Heat Mass Transfer, Vol. 24, pp. 1541-1544, (1981).
13. Smagorinsky, J., "General Circulation Experiments with the Primitive Equations. I. The Basic Experiment", Monthly Weather Review, Vol. 91, pp. 99-164, (1963).
14. Barth, T.J. and Jespersen, D., "The Design and Application of Upwind Schemes on Unstructured Meshes", AIAA 27<sup>th</sup> Aerospace Sciences Meeting, Reno, Nevada, January (1989).
15. Liou, M.S., "A Sequel to AUSM: AUSM+", Journal of Computational Physics, Vol. 129, pp. 364-382, (1996).
16. Ellison, J.R., "Evaluation of Titan III AFT Closure Insulation", Air Force Rocket Propulsion Laboratory, Technical Report AFRPL-TR-70-89, California, (1970).
17. Hill, P. and Peterson, C., "Mechanics and Thermodynamics of Propulsion", Addison-Wesley, New York, pp. 521-523, (1992).